

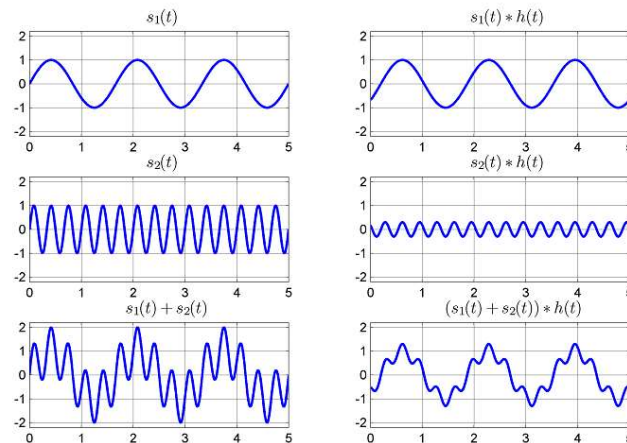
FILTRY ZE SKOŃCZONĄ ODPOWIEDZIĄ IMPULSOWĄ (SOI)

ang. Finite Impulse Response (FIR)

Spis treści

1. Definicja filtru FIR
2. Charakterystyki częstotliwościowe
3. Filtry FIR z liniową charakterystyką fazową
4. Definicja filtru 2-D FIR
5. Filtry 2-D FIR z liniową charakterystyką fazową
6. Projektowanie filtrów – metoda okna
7. Projektowanie filtrów – metoda próbkowania w dziedzinie częstotliwości
8. Optymalizacyjne metody projektowania filtrów FIR

Przykład filtracji dolnoprzepustowej

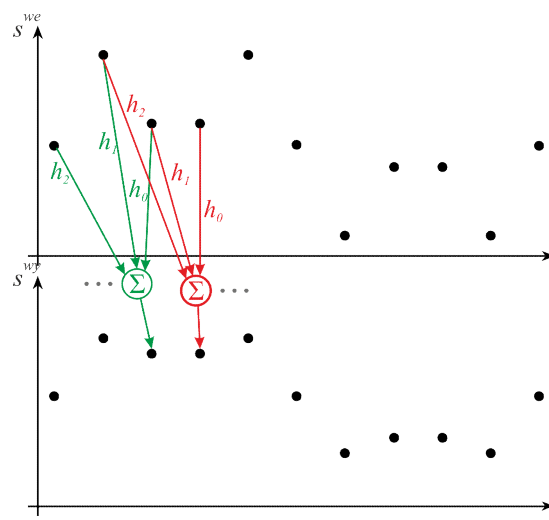


Graficzna prezentacja filtracji

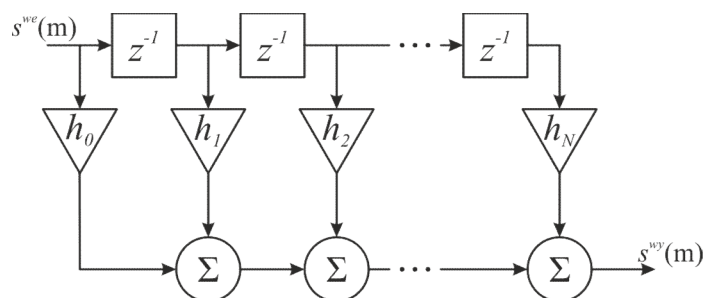


$$s^{wy}(m) = \sum_{n=0}^N h_n s^{we}(m-n)$$

N – rząd filtru



Graficzna prezentacja filtracji

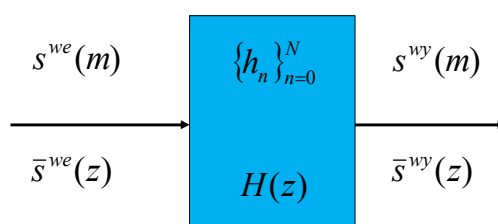


N – rząd filtru

$N + 1$ – liczba współczynników filtru

$$s^{wy}(m) = \sum_{n=0}^N h_n s^{we}(m-n)$$

Definicja filtru FIR w dziedzinie czasu



$$s^{wy}(m) = h_m * s^{we}(m)$$

$H(z)$ - transmitancja filtru

$$s^{wy}(m) = \sum_{n=0}^N h_n s^{we}(m-n)$$

- równanie różnicowe filtru

Definicja filtru FIR w z-dziedzinie



$$s^{wy}(m) = \sum_{n=0}^N h_n s^{we}(m-n)$$

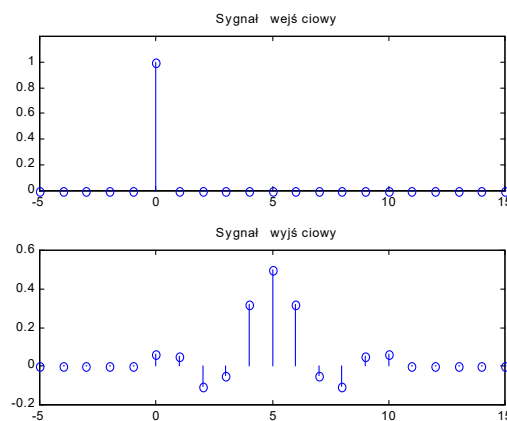
$$\begin{aligned} \bar{s}^{wy}(z) &= \sum_m s^{wy}(m) z^{-m} = \sum_m \sum_{n=0}^N h_n s^{we}(m-n) z^{-m} = \\ &= \sum_{n=0}^N h_n \sum_m s^{we}(m-n) z^{-m} = \sum_{n=0}^N h_n z^{-n} \bar{s}^{we}(z) = \bar{s}^{we}(z) \sum_{n=0}^N h_n z^{-n} \end{aligned}$$

$$\bar{s}^{wy}(z) = H(z) \bar{s}^{we}(z)$$

$$H(z) = \frac{\bar{s}^{wy}(z)}{\bar{s}^{we}(z)}$$

$$H(z) = \sum_{n=0}^N h_n z^{-n}$$

Filtracja dyskretnego impulsu Diraca



$$s^{wy}(m) = \sum_{n=0}^N h_n s^{we}(m-n)$$

Stąd h_n to tzw.
odpowiedź impulsowa
filtru

Dyskretny impuls Diraca $\Rightarrow h_0, h_1, h_2, \dots, h_N, 0, 0, \dots$

Liniowość filtrów FIR

$$s^{wy}(m) = \sum_{n=0}^N h_n s^{we}(m-n)$$

$$s^{we}(m) = \alpha s_1^{we}(m) + \beta s_2^{we}(m)$$

$$\begin{aligned} s^{wy}(m) &= \sum_n h_n [\alpha s_1^{we}(m-n) + \beta s_2^{we}(m-n)] \\ &= \alpha \sum_n h_n s_1^{we}(m-n) + \beta \sum_n h_n s_2^{we}(m-n) \end{aligned}$$

$$s^{wy}(m) = \alpha s_1^{wy}(m) + \beta s_2^{wy}(m)$$

Charakterystyki częstotliwościowe filtrów FIR

$$\begin{aligned} s^{wy}(t) &= \sum_{n=0}^N h_n s^{we}(t-n\Delta t) \\ \hat{s}^{wy}(f) &= \int_{-\infty}^{\infty} s^{wy}(t) e^{-2\pi j f t} dt = \int_{-\infty}^{\infty} \sum_{n=0}^N h_n s^{we}(t-n\Delta t) e^{-2\pi j f t} dt \\ &= \sum_{n=0}^N h_n \hat{s}^{we}(f) e^{-2\pi j f n \Delta t} \quad \underline{f} = f \Delta t = f / f_p \end{aligned}$$

$$H(\underline{f}) = \frac{\hat{s}^{wy}(\underline{f})}{\hat{s}^{we}(\underline{f})} = \sum_{n=0}^N h_n e^{-2\pi j \underline{f} n}$$

$$H(\underline{f}) = A(\underline{f}) e^{j\theta(\underline{f})}$$

$$H(\underline{f}) \Rightarrow |H(\underline{f})| \text{ i } e^{j\theta(\underline{f})}$$

$$z = e^{2\pi j \underline{f}}$$

$$H(z) = \sum_{n=0}^N h_n z^{-n}$$

$$\text{tg}(\theta(\underline{f})) = \frac{\text{Im}(H(\underline{f}))}{\text{Re}(H(\underline{f}))}$$

$$\theta(\underline{f}) = \arctg \frac{\text{Im}(H(\underline{f}))}{\text{Re}(H(\underline{f}))}$$

Filtry FIR z liniową charakterystyką fazową



$$H(\underline{f}) = A(\underline{f}) e^{j\theta(\underline{f})}$$

$$\text{dla } \theta(\underline{f}) = -2\pi \underline{f} \tau$$

$$\operatorname{tg}(\theta(\underline{f})) = \frac{\operatorname{Im}(H(\underline{f}))}{\operatorname{Re}(H(\underline{f}))}$$

$$H(\underline{f}) = \sum_{n=0}^N h_n e^{-2\pi j \underline{f} n} = \sum_{n=0}^N h_n \cos(2\pi \underline{f} n) - j \sum_{n=0}^N h_n \sin(2\pi \underline{f} n)$$

$$\operatorname{tg}(\theta(\underline{f})) = \frac{-\sum_{n=0}^N h_n \sin(2\pi \underline{f} n)}{\sum_{n=0}^N h_n \cos(2\pi \underline{f} n)} \Rightarrow \frac{-\sin(2\pi \underline{f} \tau)}{\cos(2\pi \underline{f} \tau)} = \frac{-\sum_{n=0}^N h_n \sin(2\pi \underline{f} n)}{\sum_{n=0}^N h_n \cos(2\pi \underline{f} n)} \quad \forall \underline{f} \in [0, 1/2]$$

Filtry FIR z liniową charakterystyką fazową



$$\sum_{n=0}^N h_n [\sin(2\pi \underline{f} \tau) \cos(2\pi \underline{f} n) - \cos(2\pi \underline{f} \tau) \sin(2\pi \underline{f} n)] = 0$$

$$\sin(\alpha - \beta) = \sin(\alpha) \cos(\beta) - \cos(\alpha) \sin(\beta) \quad \forall \underline{f} \in [0, 1/2]$$

$$\sum_{n=0}^N h_n \sin(2\pi \underline{f} (\tau - n)) = 0 \quad \forall \underline{f} \in [0, 1/2]$$

$$\text{dla } h_n = h_{N-n}$$

$$\tau = \frac{N}{2}$$

Czyli kąt nachylenia charakterystyki fazowej

$$\alpha = -\arctg(2\pi\tau) = -\arctg(\pi N)$$

Filtry FIR z liniową charakterystyką fazową



$$\sum_{n=0}^N h_n [\sin(2\pi \underline{f} \tau) \cos(2\pi \underline{f} n) - \cos(2\pi \underline{f} \tau) \sin(2\pi \underline{f} n)] = 0$$

$$\sum_{n=0}^N h_n \sin(2\pi \underline{f} (\tau - n)) = 0 \quad \forall \underline{f} \in [0, 1/2]$$

dla

$$h_n = h_{N-n}$$

$$\tau = \frac{N}{2}$$

Sprawdzenie dla N parzystego

$$\sum_{n=0}^{N/2} [h_n \sin(2\pi \underline{f} (\frac{N}{2} - n)) + h_{N-n} \sin(2\pi \underline{f} (\frac{N}{2} - N + n))] = 0$$

$$\sum_{n=0}^{N/2} [h_n \sin(2\pi \underline{f} (\frac{N}{2} - n)) - h_{N-n} \sin(2\pi \underline{f} (\frac{N}{2} - n))] = 0$$

Filtr z liniową charakterystyką fazową dla N nieparzystego



$$H(\underline{f}) = \sum_{n=0}^N h_n e^{-2\pi j \underline{f} n}$$

$$H(\underline{f}) = 2e^{-\pi j N \underline{f}} \sum_{n=0}^{\frac{N-1}{2}} h_n \cos((2n - N)\pi \underline{f})$$

$$\theta(\underline{f}) = -\pi N \underline{f}$$

$$A(\underline{f}) = 2 \sum_{n=0}^{\frac{N-1}{2}} h_n \cos((2n - N)\pi \underline{f})$$

dla: $\underline{f} \in [0, 1/2]$

$$H(\underline{f}) = A(\underline{f}) e^{j\theta(\underline{f})}$$

Filtr z liniową charakterystyką fazową dla N parzystego

$$H(\underline{f}) = e^{-\pi j N \underline{f}} \left[h_{N/2} + 2 \sum_{n=0}^{\frac{N}{2}-1} h_n \cos((2n - N)\pi \underline{f}) \right]$$

$$\theta(\underline{f}) = -\pi N \underline{f}$$

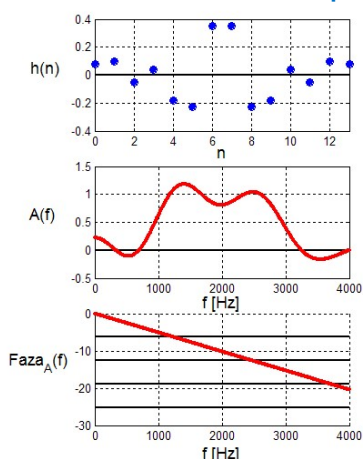
$$\text{dla: } \underline{f} \in [0, 1/2]$$

$$A(\underline{f}) = \left[h_{N/2} + 2 \sum_{n=0}^{\frac{N}{2}-1} h_n \cos((2n - N)\pi \underline{f}) \right]$$

$$H(\underline{f}) = A(\underline{f}) e^{j\theta(\underline{f})}$$

15

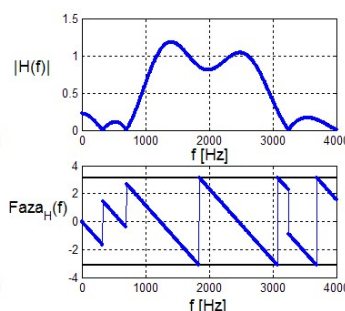
Przykład filtru z liniową charakterystyką fazową N -nieparzyste



Na wykresie fazy czarne poziome linie oznaczają wielokrotność -2π

$$H(\underline{f}) = A(\underline{f}) e^{jFaza_A(\underline{f})} = H(\underline{f}) |e^{jFaza_H(\underline{f})}$$

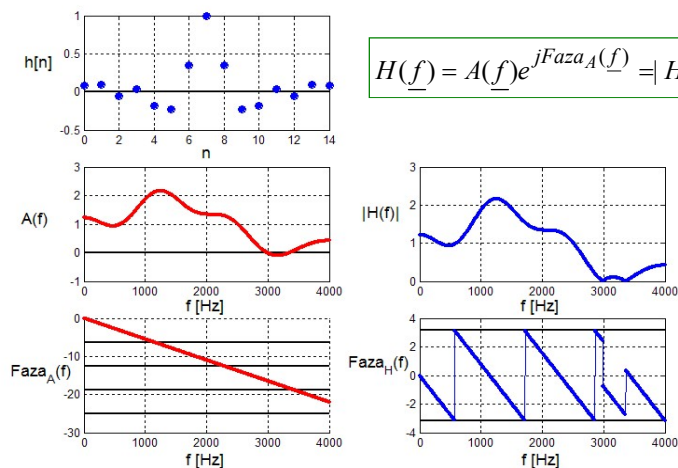
$$f_p = 8 \text{ kHz}$$



Na wykresie fazy czarne poziome linie oznaczają poziomy $+\pi$ oraz $-\pi$

16

Przykład filtru z liniową charakterystyką fazową N-parzyste



Filtry FIR z afiniczną charakterystyką fazową



$$\theta(f) = -2\pi f\tau + \alpha$$

$$\tau = \frac{N}{2}$$

$$\alpha = \pm \frac{\pi}{2}$$

$$h_n = -h_{N-n}$$

Filtr z afiniczną charakterystyką fazową dla N nieparzystego

$$H(\underline{f}) = 2e^{-\pi j N \underline{f} - \pi j / 2} \sum_{n=0}^{\frac{N-1}{2}} h_n \sin((2n - N)\pi \underline{f}) \quad \text{dla: } \underline{f} \in [0, 1/2]$$

$$A(\underline{f}) = 2 \sum_{n=0}^{\frac{N-1}{2}} h_n \sin((2n - N)\pi \underline{f})$$

$$\theta(\underline{f}) = -\pi N \underline{f} - \pi / 2 \quad \text{dla: } \underline{f} \in [0, 1/2]$$

$$\theta(\underline{f}) = -\pi N \underline{f} + \pi / 2 \quad \text{dla: } \underline{f} \in [-1/2, 0]$$

$$H(\underline{f}) = A(\underline{f}) e^{j\theta(\underline{f})}$$

Filtr z afiniczną charakterystyką fazową dla N parzystego

$$H(\underline{f}) = 2e^{-\pi j N \underline{f} - \pi j / 2} \sum_{n=0}^{\frac{N}{2}} h_n \sin((2n - N)\pi \underline{f}) \quad \text{dla: } \underline{f} \in [0, 1/2]$$

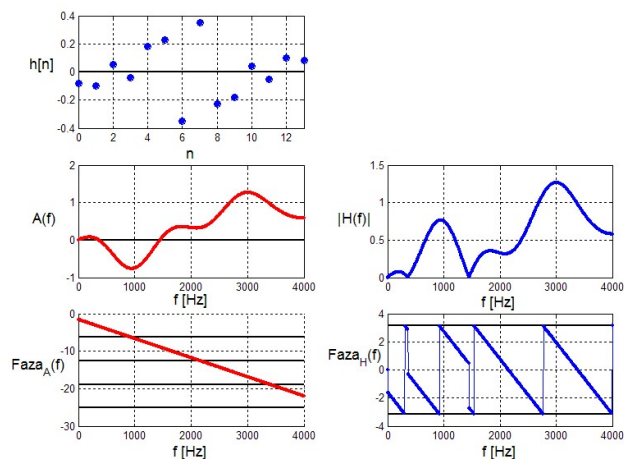
$$A(\underline{f}) = 2 \sum_{n=0}^{\frac{N}{2}} h_n \sin((2n - N)\pi \underline{f})$$

$$\theta(\underline{f}) = -\pi N \underline{f} - \pi / 2 \quad \text{dla: } \underline{f} \in [0, 1/2]$$

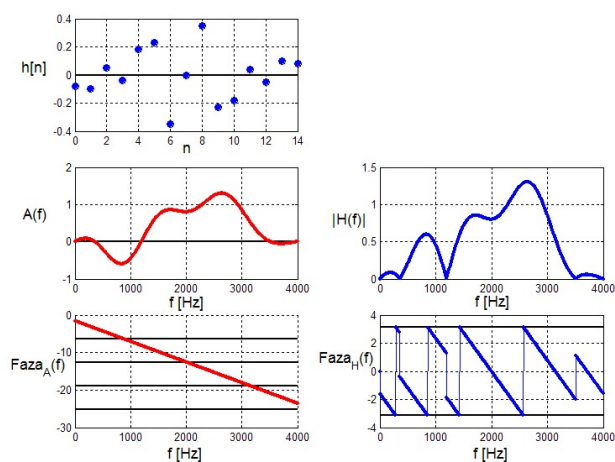
$$\theta(\underline{f}) = -\pi N \underline{f} + \pi / 2 \quad \text{dla: } \underline{f} \in [-1/2, 0]$$

$$H(\underline{f}) = A(\underline{f}) e^{j\theta(\underline{f})}$$

Przykład filtra z afiniczną charakterystyką fazową, N -nieparzyste



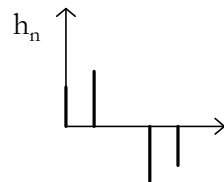
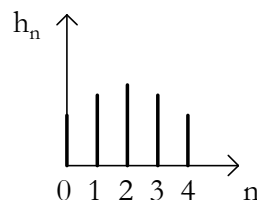
Przykład filtra z afiniczną charakterystyką fazową, N -parzyste



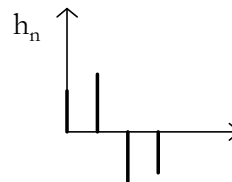
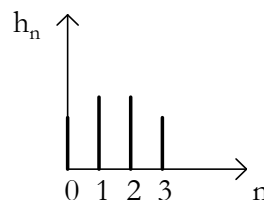
Cztery typy symetrii odpowiedzi impulsowych



filtry rzędu **parzystego**



filtry rzędu **nieparzystego**



z **liniową**
charakterystyką
fazową

z **afiniczną**
charakterystyką
fazową

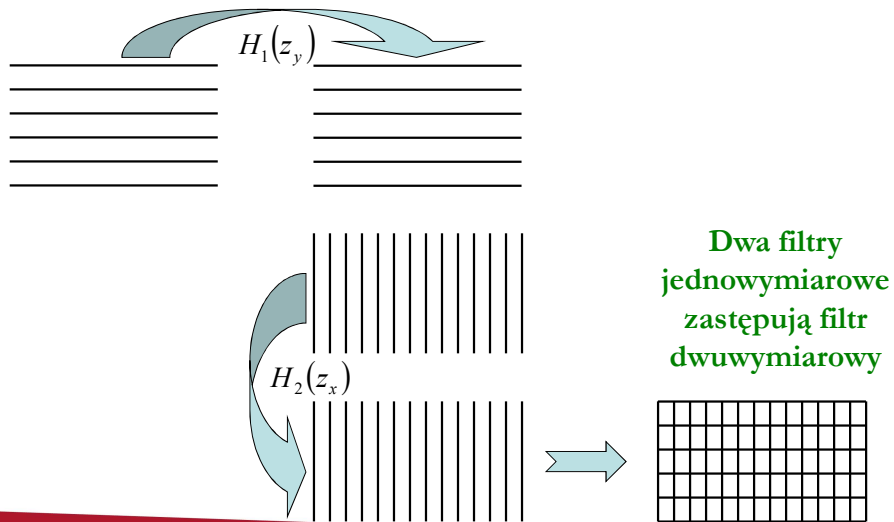
Filtracja 2-D FIR



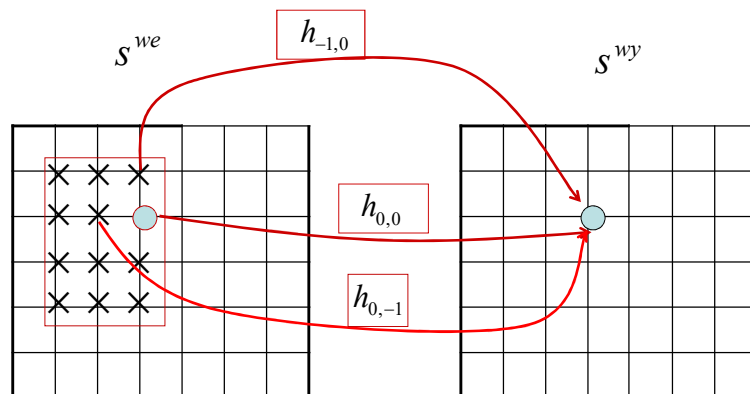
FILTR



Praktyka filtracji 2-D



Graficzna prezentacja filtru 2-D FIR



Definicja filtru 2-D FIR



$$s^{wy}(k, l) = \sum_m \sum_n h_{m,n} s^{we}(k-m, l-n)$$

$$\bar{s}^{wy}(z_x, z_y) = \sum_k \sum_l s^{wy}(k, l) z_x^{-k} z_y^{-l}$$

$$\bar{s}^{wy}(z_x, z_y) = \sum_{(m,n) \in R_h} \sum_k \sum_l h_{m,n} s^{we}(k-m, l-n) z_x^{-k} z_y^{-l}$$

$$\bar{s}^{wy}(z_x, z_y) = \sum_{(m,n) \in R_h} h_{m,n} z_x^{-m} z_y^{-n} \bar{s}^{we}(z_x, z_y)$$

$$H(z_x, z_y) = \sum_{(m,n) \in M^{we}} h_{m,n} z_x^{-m} z_y^{-n}$$

$$\bar{s}^{wy}(z_x, z_y) = H(z_x, z_y) \bar{s}^{we}(z_x, z_y)$$

Charakterystyki częstotliwościowe filtru 2-D FIR



$$z_x = e^{2\pi j \underline{f_x}}$$

oraz

$$z_y = e^{2\pi j \underline{f_y}}$$

$$H(z_x, z_y) = \sum_{(m,n) \in M^{we}} h_{m,n} z_x^{-m} z_y^{-n}$$

$$H(\underline{f_x}, \underline{f_y}) = \sum_{(m,n) \in R_h} h_{m,n} e^{-2\pi j (\underline{f_x} m + \underline{f_y} n)} = A(\underline{f_x}, \underline{f_y}) e^{j\theta(\underline{f_x}, \underline{f_y})}$$

$$\theta(\underline{f_x}, \underline{f_y}) = \arctg \left(\frac{\text{Im}(H(\underline{f_x}, \underline{f_y}))}{\text{Re}(H(\underline{f_x}, \underline{f_y}))} \right)$$

$$A(\underline{f_x}, \underline{f_y}) = \begin{cases} \frac{\text{Re}^2(H(\underline{f_x}, \underline{f_y})) + \text{Im}^2(H(\underline{f_x}, \underline{f_y}))}{\text{Im}(H(\underline{f_x}, \underline{f_y}))} \sin(\theta) & \text{dla } \theta \neq 0 \\ \text{Re}(H(\underline{f_x}, \underline{f_y})) & \text{dla } \theta = 0 \end{cases}$$

Filtry 2-D FIR z liniową charakterystyką fazową



$$\theta(\underline{f}_x, \underline{f}_y) = -2\pi(\underline{f}_x \tau_x + \underline{f}_y \tau_y)$$

$$\operatorname{tg}\left(-2\pi(\underline{f}_x \tau_x + \underline{f}_y \tau_y)\right) = \frac{\sum_{m=0}^M \sum_{n=0}^N h_{m,n} \sin(2\pi(\underline{f}_x m + \underline{f}_y n))}{\sum_{m=0}^M \sum_{n=0}^N h_{m,n} \cos(2\pi(\underline{f}_x m + \underline{f}_y n))}$$

$$\sum_{m=0}^M \sum_{n=0}^N h_{m,n} \sin(2\pi[\underline{f}_x (\tau_x - m) + \underline{f}_y (\tau_y - n)]) = 0 \quad \forall \underline{f}_x, \underline{f}_y \in [0, 1/2]$$

$$\tau_y = N/2$$

$$\tau_x = M/2$$

$$h_{m,n} = h_{M-m, N-n}$$

Filtry 2-D FIR z afiniczną charakterystyką fazową



$$\theta(\underline{f}_x, \underline{f}_y) = -2\pi(\underline{f}_x \tau_x + \underline{f}_y \tau_y) \pm \frac{\pi}{2}$$

$$\sum_{m=0}^M \sum_{n=0}^N h_{m,n} \cos(2\pi[\underline{f}_x (\tau_x - m) + \underline{f}_y (\tau_y - n)]) = 0$$

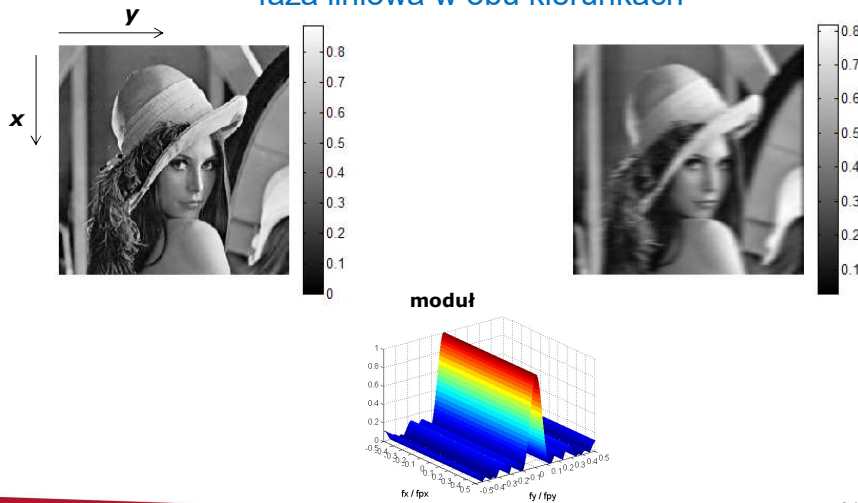
$$\tau_x = M/2$$

$$\tau_y = N/2$$

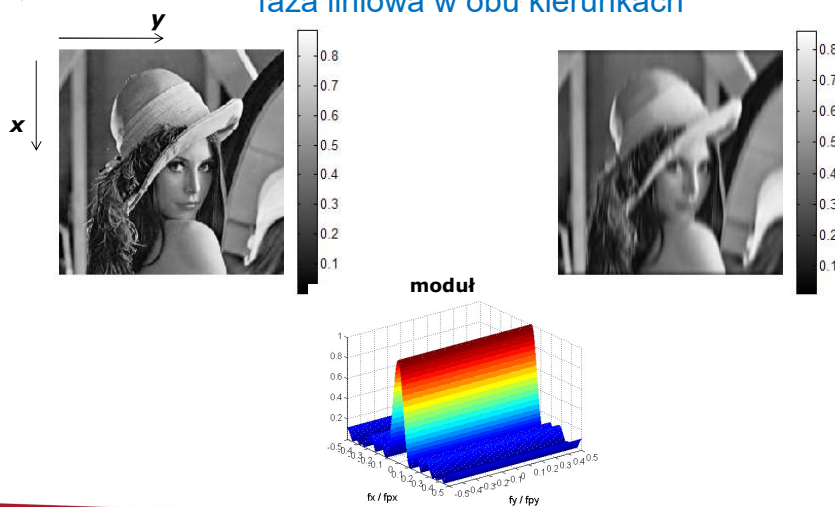
$$\forall \underline{f}_x, \underline{f}_y \in [0, 1/2]$$

$$h_{m,n} = -h_{M-m, N-n}$$

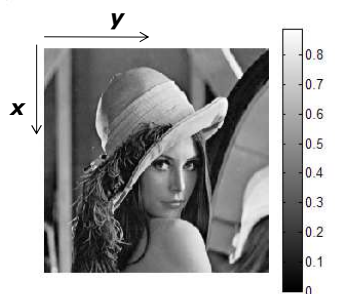
Filtr dolnoprzepustowy w kierunku y wszechprzepustowy w kierunku x faza liniowa w obu kierunkach



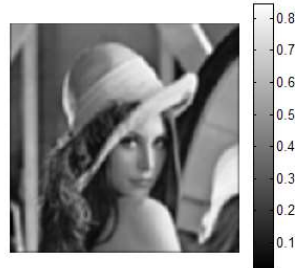
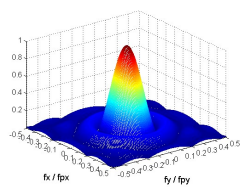
Filtr dolnoprzepustowy w kierunku x wszechprzepustowy w kierunku y faza liniowa w obu kierunkach



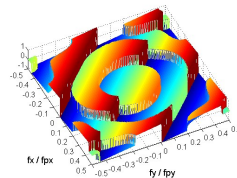
Filtr dolnoprzepustowy w obu kierunkach faza liniowa w obu kierunkach



moduł



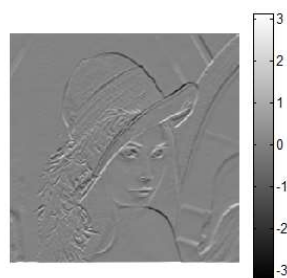
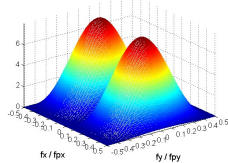
faza (dzielona przez π)



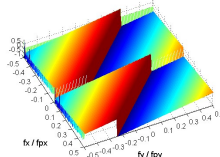
Filtr pasmowo-przepustowy w kierunku x dolnoprzepustowy w kierunku y w kierunku x faza jest afiniczna



moduł



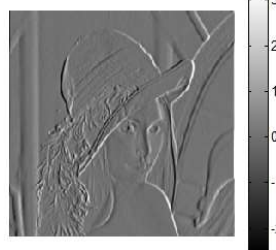
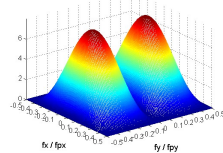
faza (dzielona przez π)



Filtr pasmowo-przepustowy w kierunku y dolnoprzepustowy w kierunku x w kierunku y faza jest afiniczna



moduł



faza (dzielona przez π)

